

分析・評価・観測群 表面分析チーム研修

共通サンプル測定

大村和世、表面分析チーム

研修の目的

分析装置の細分化・高度化

得られる情報

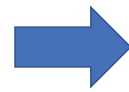
検出限界

空間分解能

情報深さ

メーカーによる特色

種類は多岐にわたるうえ、
装置ごとの特長が大きく
異なる



使用には高い
専門性が必要

研究者の要望に迅速に対応するには

分析目的に適した手法・装置の選択が重要

チームメンバーで共通のサンプルを測定し、得られた結果を比較

目的

- ・各分析手法の理解を深める
- ・分析目的に合わせた手法を選択し、依頼者に機能紹介ができるようにする
- ・各装置の特長を把握し、メンバーと意見交換することにより連携を強める

表面分析チームで扱う装置

工学研究科



多元物質科学研究所



金属材料研究所



AES、XPS、TOF-SIMS、FE-EPMA、XRFなど

測定サンプル

Siウェハー(3inch、面方位100) 切断後薬包紙に包み配布

- ・自然酸化膜のみ
- ・25nm熱酸化膜
- ・100nm熱酸化膜

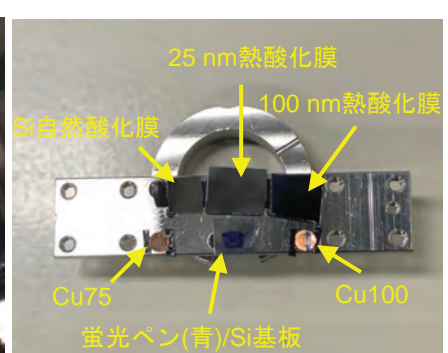
TEMグリッドメッシュ

- ・Cu75
- ・Cu100

配布サンプル

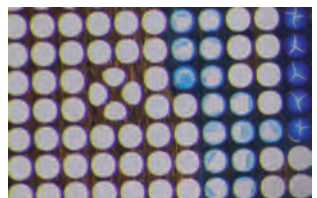


ホルダー固定例



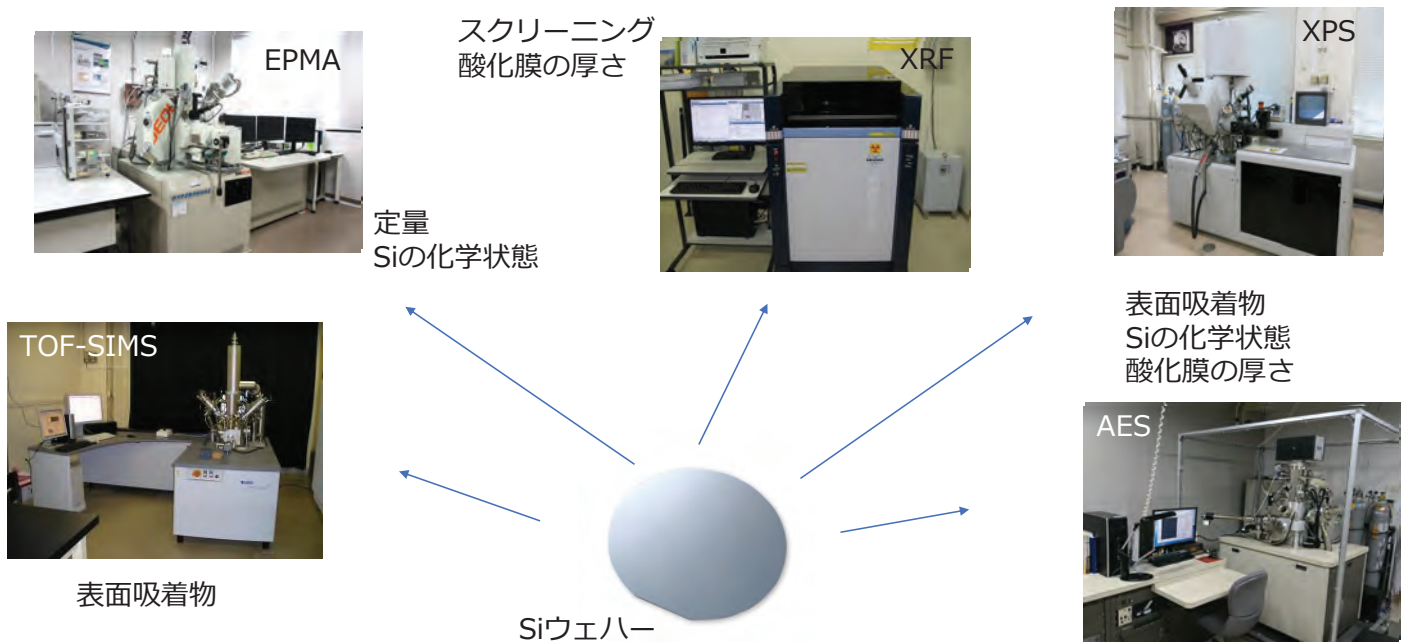
青色水性顔料マーカー(サンプルホルダーやSiウェハーなどに塗布して使用)

特に測定条件等は設けず、各々が通常行っている方法で自由にデータを取得



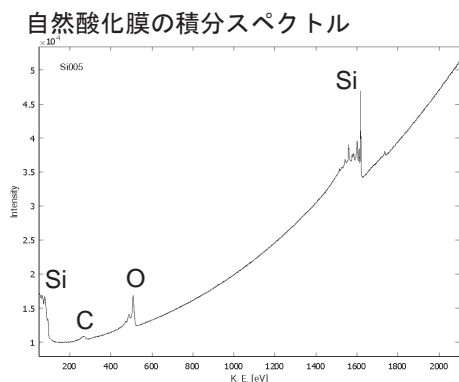
Cu100に一部蛍光インクを塗布したサンプル

期待されるデータ：どの分析装置で何がわかる？

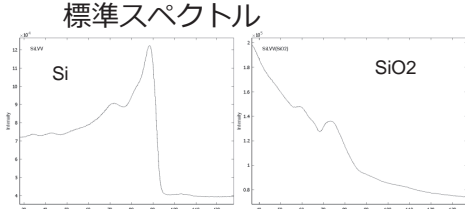
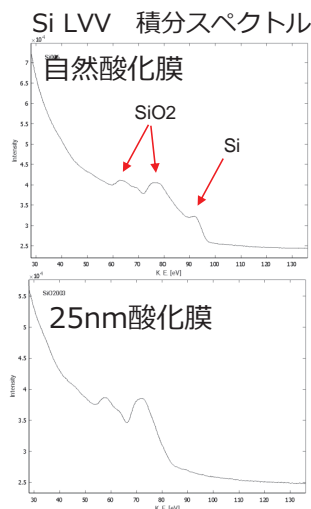


複数の装置で得た結果を総合的に考えることにより、サンプルの全体像を得ることができる

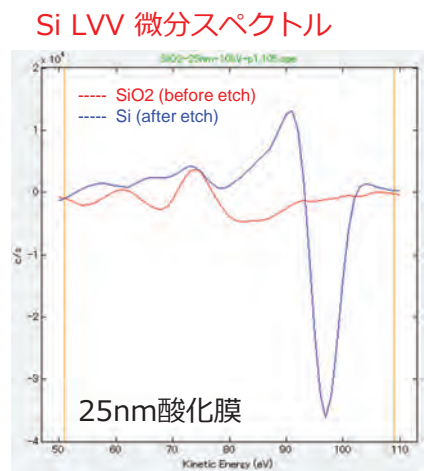
Siウェハー：AES① 最表面分析



Si LVV 積分スペクトル



標準スペクトルとの比較から、自然酸化膜ではSiとSiO₂の重複スペクトル、25nm酸化膜ではSiO₂のみのスペクトル

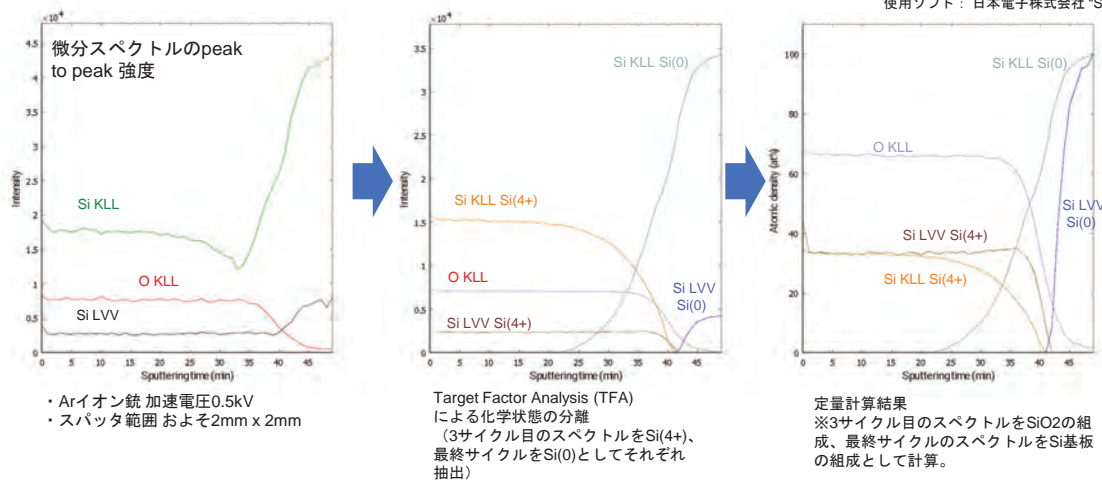


Arイオンエッティング前後でのスペクトル変化

エッティング前後でスペクトルが変化し、酸化被膜が除去されている

Siウェハー：AES② 深さ方向分析

25nm酸化膜のデプスプロファイル



定量計算において、Si KLL Si(4+)は、Si LVV Si(4+)に比べて緩やかに減少しており、両者の電子の運動エネルギーの差に起因する検出深さの違いによるものと考えられる。

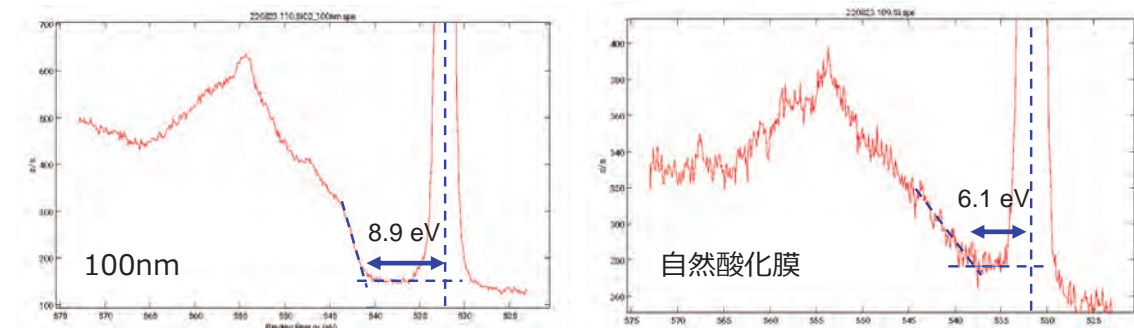
適切な遷移を選択することにより、シャープな界面のデプスプロファイルを得ることができる

7

Siウェハー：XPS① 酸化膜のバンドギャップ測定

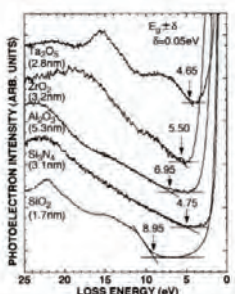
雁部

自然酸化膜と100nm酸化膜のバンドギャップ測定

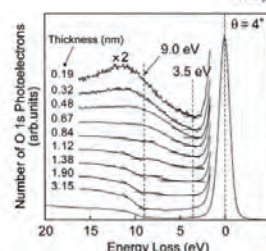


<測定条件>

Pass energy : 5.85 eV
eV step : 0.100 eV
検出角度 : 45°



文献値とよく一致



1nmよりも薄い膜では、低い値をとることがあるとの報告

酸化膜厚を算出して確認

Fig. 2 O 1s photoelectron energy loss spectra were measured at photoelectron take-off angle (θ) of 4° and normalized with sum of spectral intensities of two kinds of O 1s photoelectrons.

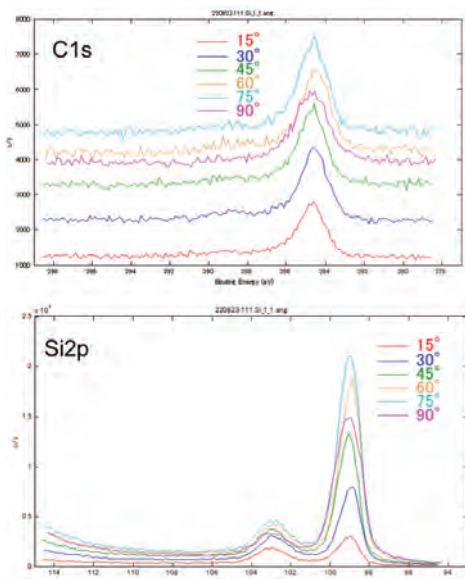
Fig. 1. O 1s or N 1s energy-loss spectra for thermally evaporated 4.5-nm-thick Ta₂O₅, evaporated 3.7-nm-thick ZrO₂, thermally grown 5.3-nm-thick Al₂O₃, LPCVD 3.0-nm-thick Si₃N₄, and thermally grown 2.3-nm-thick SiO₂.

S. Miyazaki, J. Vac. Sci. Technol. B., 19, 2212(2001).

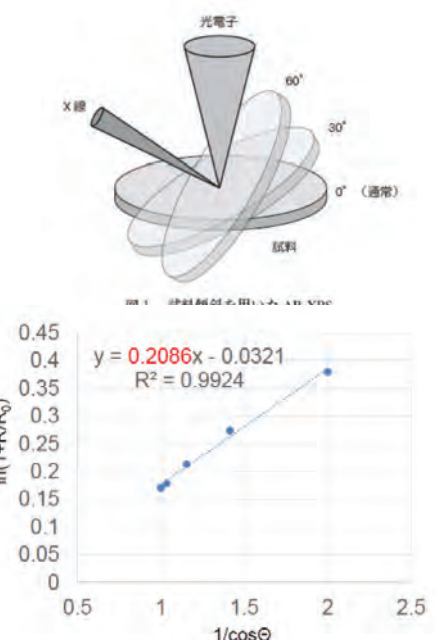
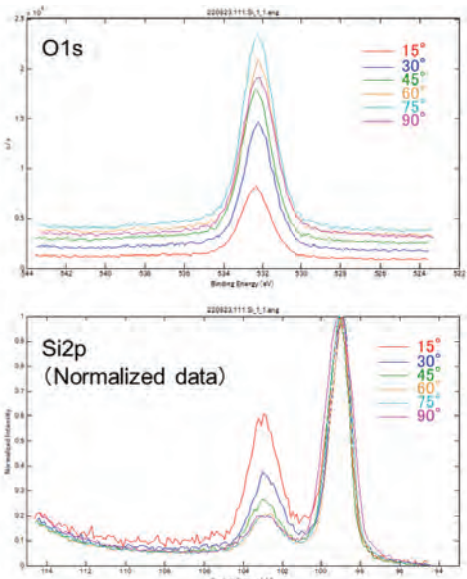
高橋ら, 表面科学, 23, 568(2002).

Siウェハー：XPS② 角度分解測定によるSiO₂膜厚算出

自然酸化膜の角度分解スペクトル



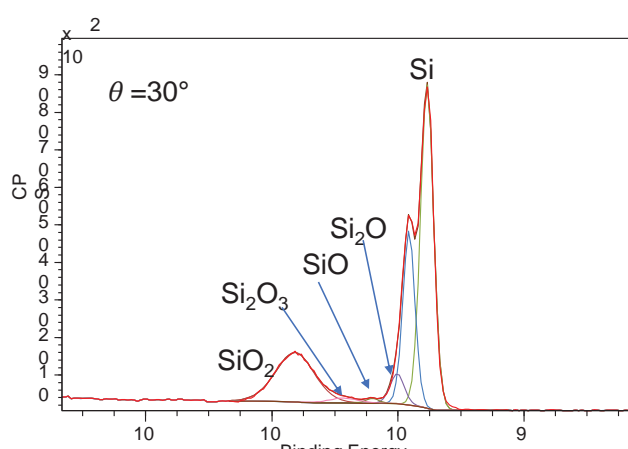
SiとSiO₂にピーク分離し、検出深さの変化を利用することにより、酸化膜厚を算出



$$\text{傾き} 0.2086 \times 3.5 \text{ nm} = 0.73 \text{ nm}$$

バンドギャップが低値を示す原因

Siウェハー：XPS③ 角度分解測定による酸化膜厚算出



金属Si	Si2p _{3/2}	2
	Si2p _{1/2}	+0.6eV
Si ₂ O	Si2p	+1.15eV±0.1
SiO	Si2p	+1.95eV±0.1
Si ₂ O ₃	Si2p	+2.68±0.1
SiO ₂	Si2p	+4.0-4.5eV
		すべてガウス-ローレンツ混合対称

$$d_{SiO_2} = L_{SiO_2} \cos \theta \ln \left[1 + \frac{\left(\frac{I_{SiO_2}}{R_{SiO_2}} \right)}{\left(\frac{I_{Si_2O_3}}{R_{Si_2O_3}} + \frac{I_{SiO}}{R_{SiO}} + \frac{I_{Si_2O}}{R_{Si_2O}} + I_{Si} \right)} \right]$$

$$d_{Si_2O_3} = L_{Si_2O_3} \cos \theta \ln \left[1 + \left(\frac{I_{Si_2O_3}}{R_{Si_2O_3} I_{Si}} \right) \right]$$

$$d_{SiO} = L_{SiO} \cos \theta \ln \left[1 + \left(\frac{I_{SiO}}{R_{SiO} I_{Si}} \right) \right]$$

$$d_{Si_2O} = L_{Si_2O} \cos \theta \ln \left[1 + \left(\frac{I_{Si_2O}}{R_{Si_2O} I_{Si}} \right) \right]$$

$$d_{oxide} = d_{SiO_2} + 0.75d_{Si_2O_3} + 0.5d_{SiO} + 0.25d_{Si_2O}$$

減衰長L=3.448 nm, 規格化定数R=0.9329

$$d_{oxide} = 0.89 \text{ nm}, d_{SiO_2} = 0.78 \text{ nm}$$

サブオキサイドまで含めてピーク分離し、酸化膜厚を計算

参考：断面TEM観察

Si自然酸化膜

HR-1.9M

FIB

FEI Helios Nanolab 600i

30kV → 8kV → 2kV

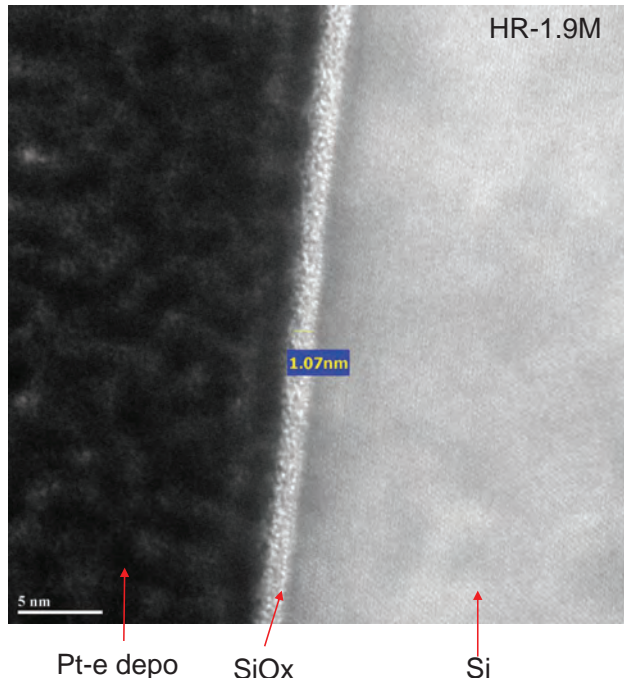
サンプル作成：佐藤香織様

TEM

TOPCON EM-002B

160kV

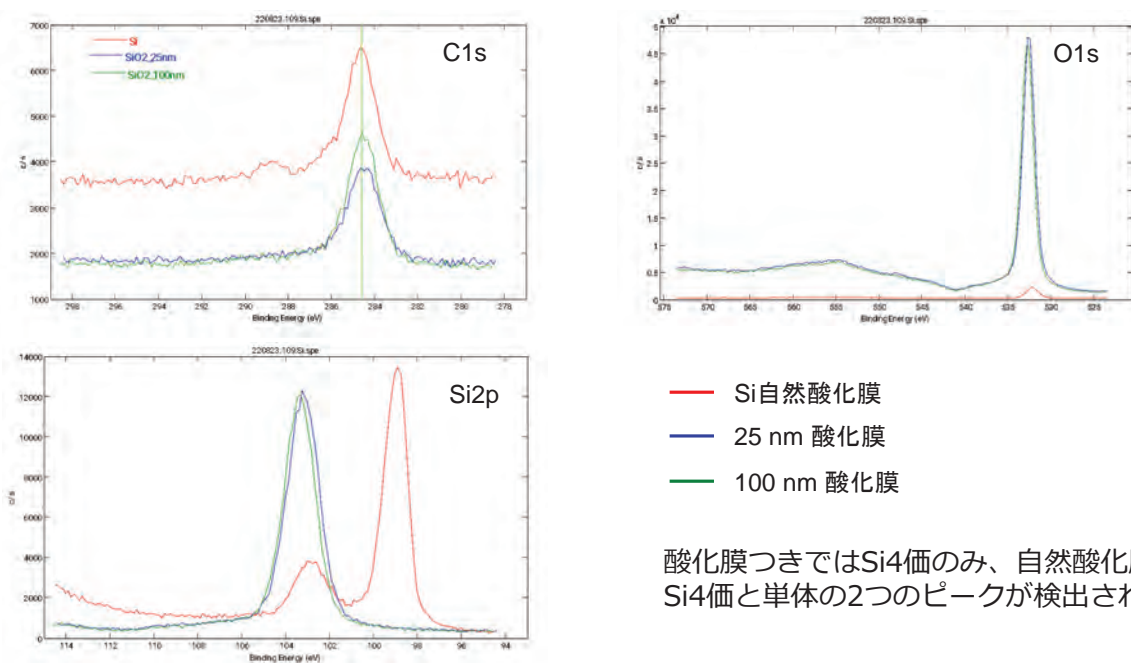
TEM観察：伊藤俊様



11

Siウェハー：XPS④ 最表面分析

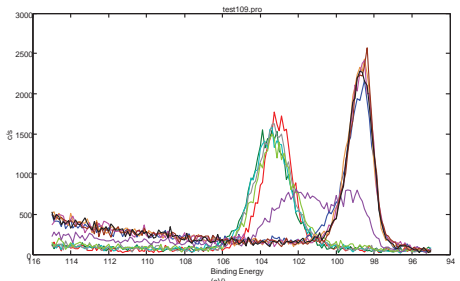
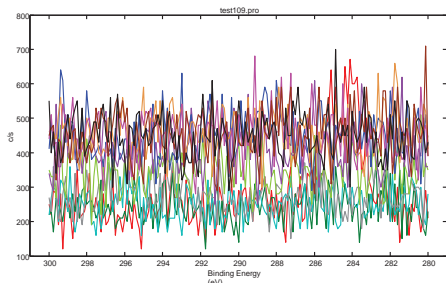
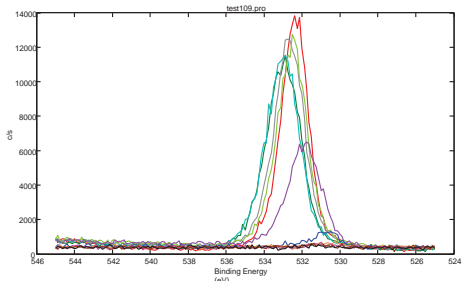
自然酸化膜、25nm酸化膜、100nm酸化膜のスペクトル



酸化膜つきではSi4価のみ、自然酸化膜では、Si4価と単体の2つのピークが検出された

Siウェハー：XPS 深さ方向分析

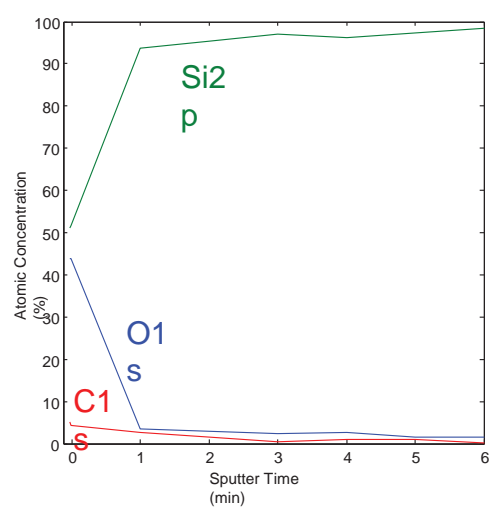
25nm酸化膜



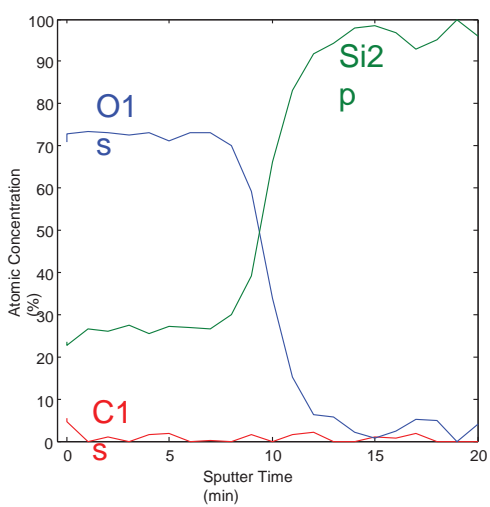
Arイオンエッチングによる深さ方向分析
エッチングを繰り返すと、酸素が減少、
Siは4価から単体へとピークシフト

Siウェハー：XPS 深さ方向分析

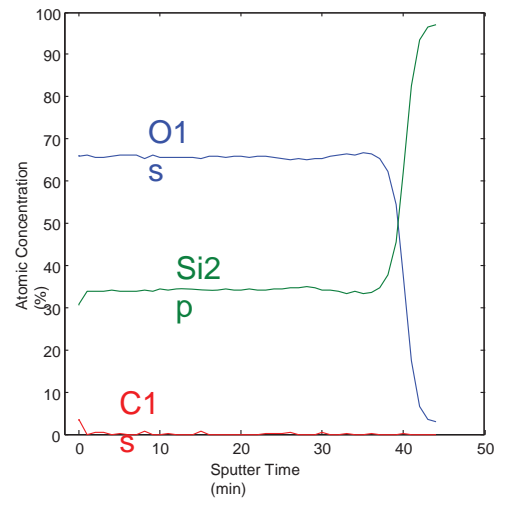
自然酸化膜



25nm酸化膜

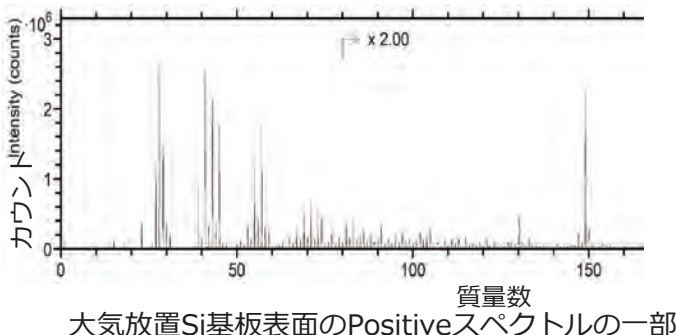


100nm酸化膜



25nm、100nmのスパッタレートから、自然酸化膜は1nm程度の厚さと推測できる

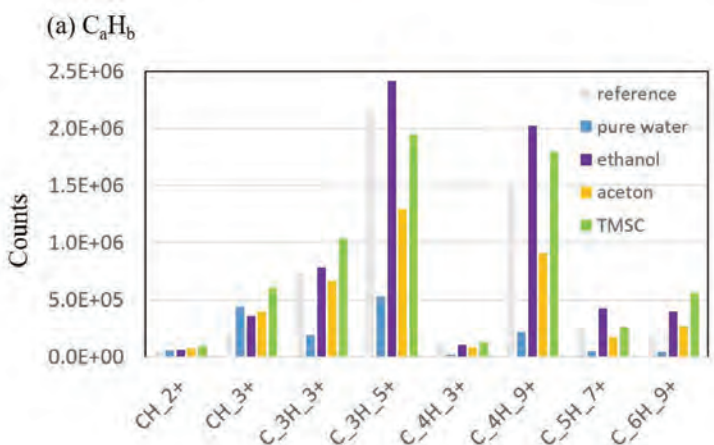
Siウェハー：TOF-SIMS① 溶媒洗浄前後の表面汚染物質変化



測定条件
1次イオン : Bi⁺⁺(25 keV, 0.2 pA)、測定面積300×300 μm²

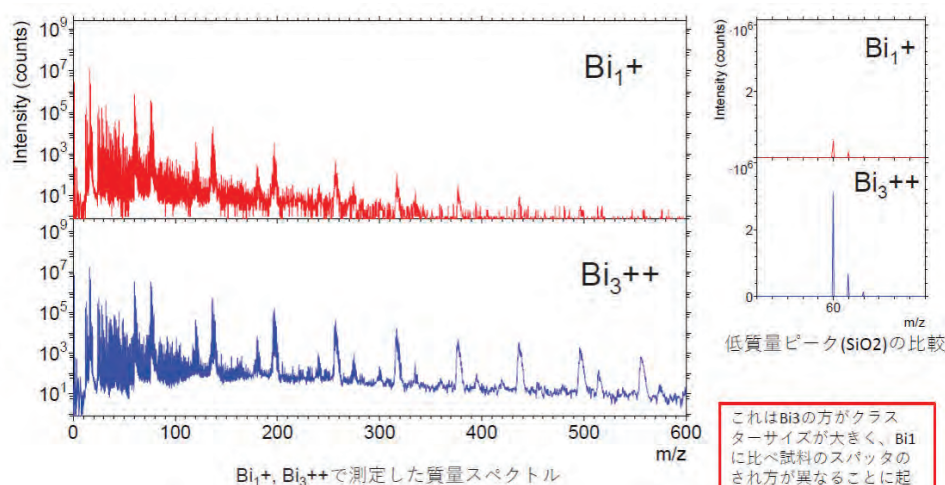
- Countsが小さいほど汚れ残渣は少ない。
- 純水洗浄が多くのC_aH_b成分を減少させ、減少度合いは各溶媒中で一番高い。

炭化水素を検出。洗浄方法により、汚れ残渣が異なり、純水洗浄がCaHbの減少に最も効果がある



スペクトルから抽出したC_aH_b成分 (a,b : 正数)

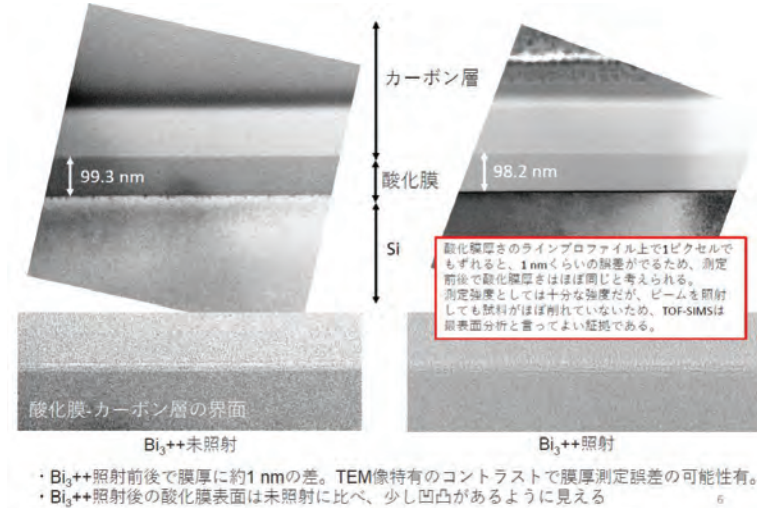
Siウェハー：TOF-SIMS② 1次イオン種による測定結果の違い



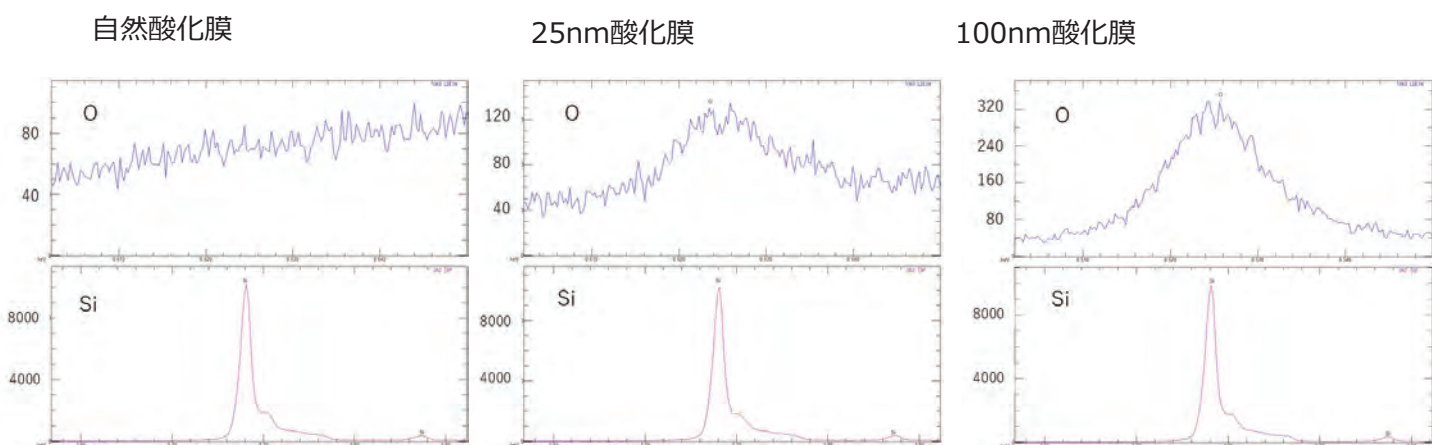
- 周期的に出現する強度大のピークはSi_nO_{2n+1}⁻由来
- Bi₃⁺⁺ではBi₁⁺に比べSi_nO_{2n+1}⁻の強度が全質量範囲で高い
- ⇒ SiO系統の含有調査ではBi₃⁺⁺が適切な選択となる

これはBi3の方がクラスターサイズが大きく、Bi1に比べ試料のスパッタのされ方が異なることに起因する。

Siウェハー：TOF-SIMS③ 測定深さの調査



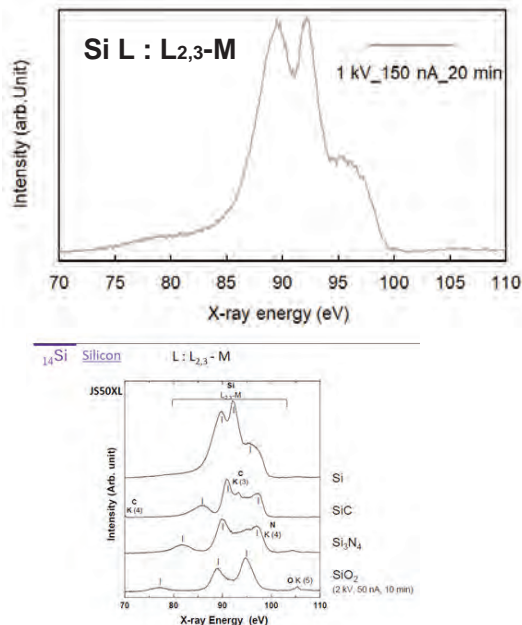
Siウェハー：EPMA① 定性分析



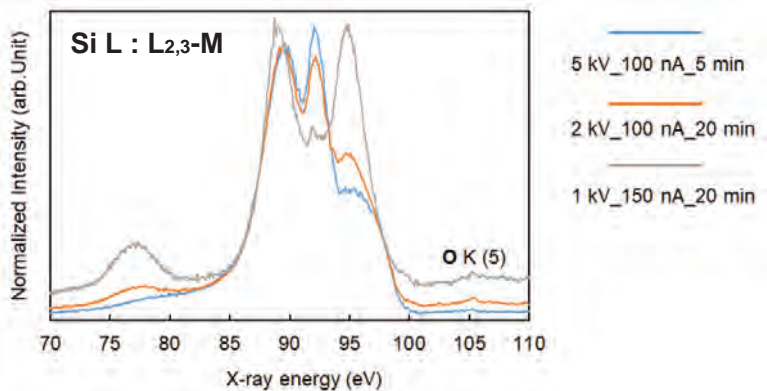
Siについては、サンプル間での差異は無かったが、Oは酸化膜が厚いほどX線強度が大きくなつた

Siウェハー：EPMA② 軟X線分光器によるスペクトル測定

自然酸化膜



25 nm酸化膜



自然酸化膜では加速電圧1 kVでもSi母材のスペクトルであった

25 nm酸化膜では、加速電圧5 kVではSiのスペクトルだが、1 kVではSiO₂のスペクトルに近くなる

Handbook of Soft X-ray Emission Spectra Ver. 7.0 (2021).

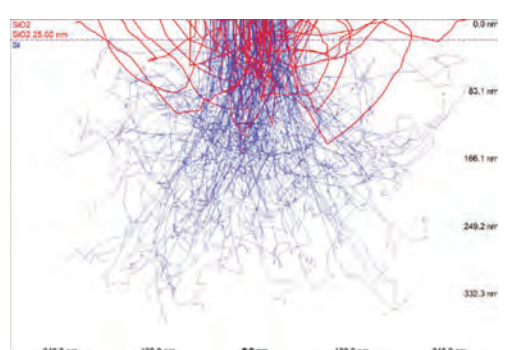
Siウェハー：EPMA③ モンテカルロシミュレーション

電子線の潜り深さと散乱を計算

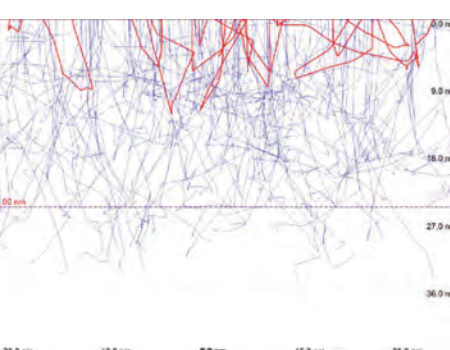
軟X線分光器で取得したデータと比較することにより、酸化膜のみを測定できる膜厚を推測

25 nm酸化膜

加速電圧5 kV

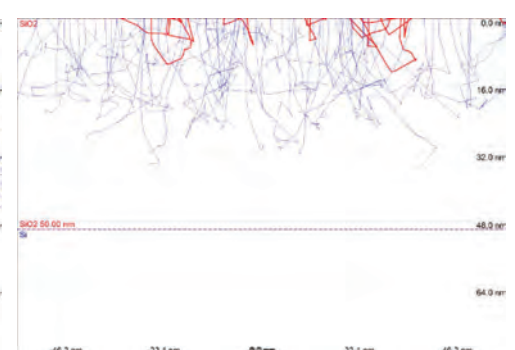


加速電圧1 kV



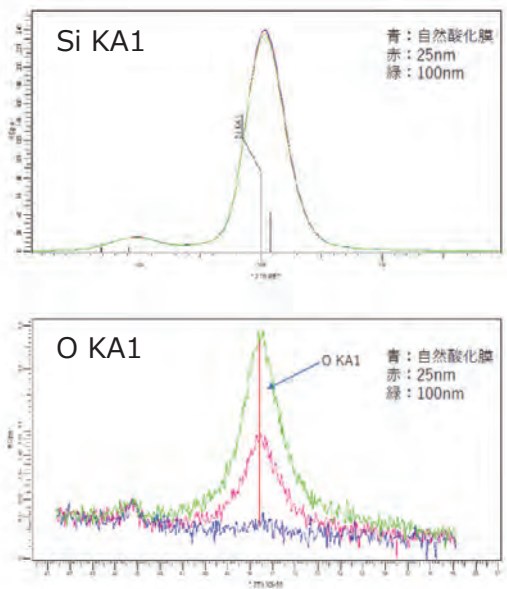
50 nm酸化膜

加速電圧1 kV



加速電圧1 kVでは、30-50 nmの膜厚であれば酸化膜のみの測定が可能

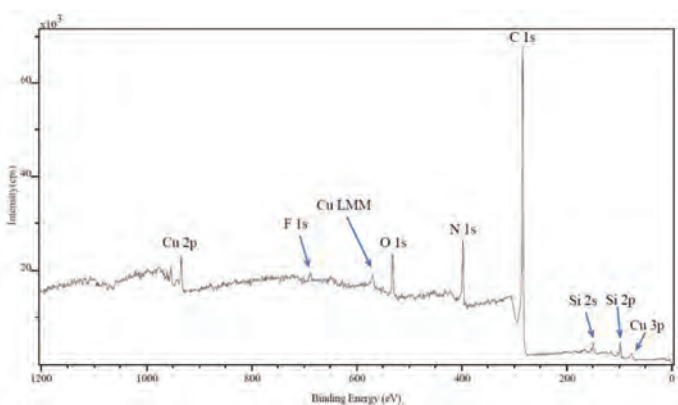
Siウェハー：XRF 定性分析



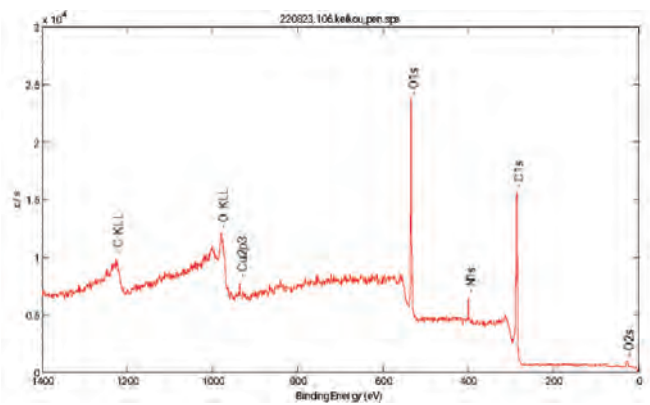
Si K α 1ではサンプル間で違いは認められないが、O K α 1ではピーク強度に差があった

Oのピーク強度比から、自然酸化膜の厚みは1~2nm程度と推測される

水性顔料マーカー：XPS① Surveyスペクトル



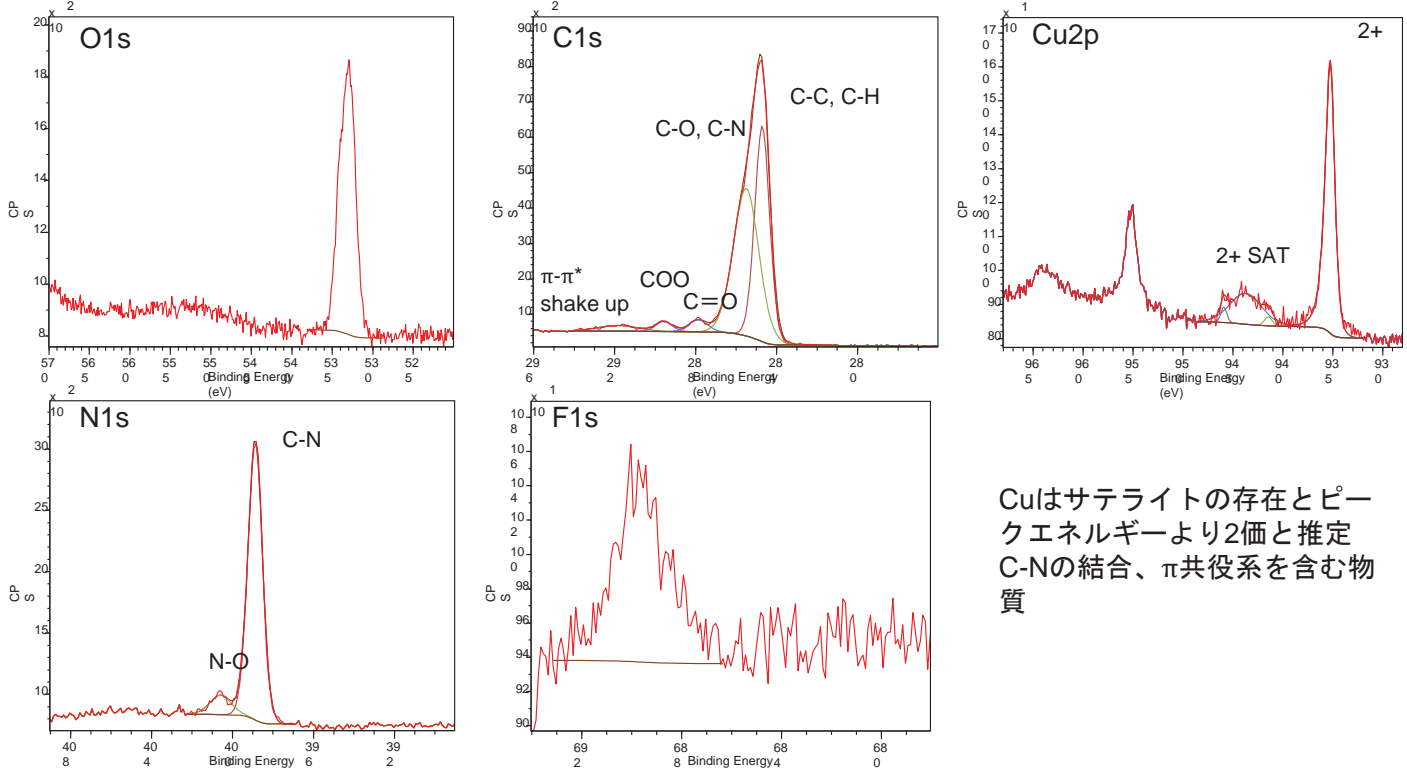
Siウェハーに塗布
C、N、O、Cu、F検出



Siウェハーに塗布
C、N、O、Cu検出

装置によって、検出元素に違いがあった
X線源の構造、検出方法によるものと推察

水性顔料マーカー：XPS② Narrowスペクトル ピーク分離



Cuはサテライトの存在とピークエネルギーより2価と推定
C-Nの結合、π共役系を含む物質

水性顔料マーカー：EPMA

AIサンプルホールダーに塗布

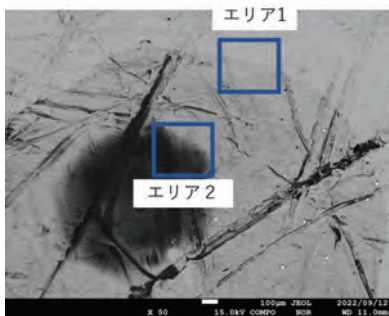


図 反射電子像



図 二次電子像

N,Cu含有

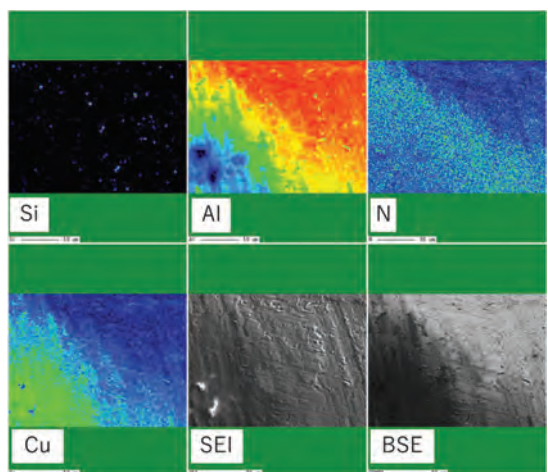
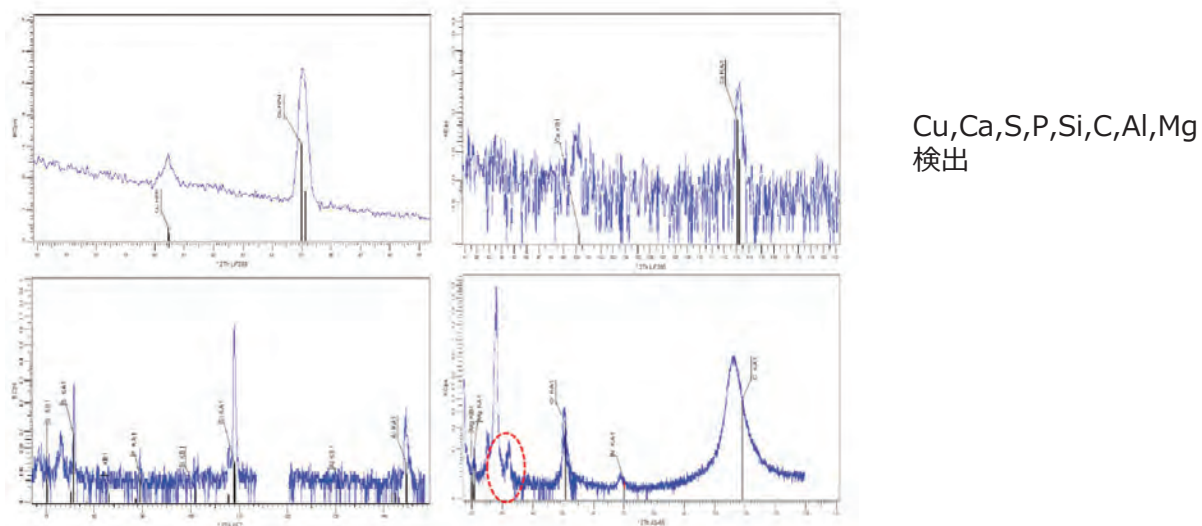


図 エリア2の元素マッピング

水性顔料マーカー：XRF

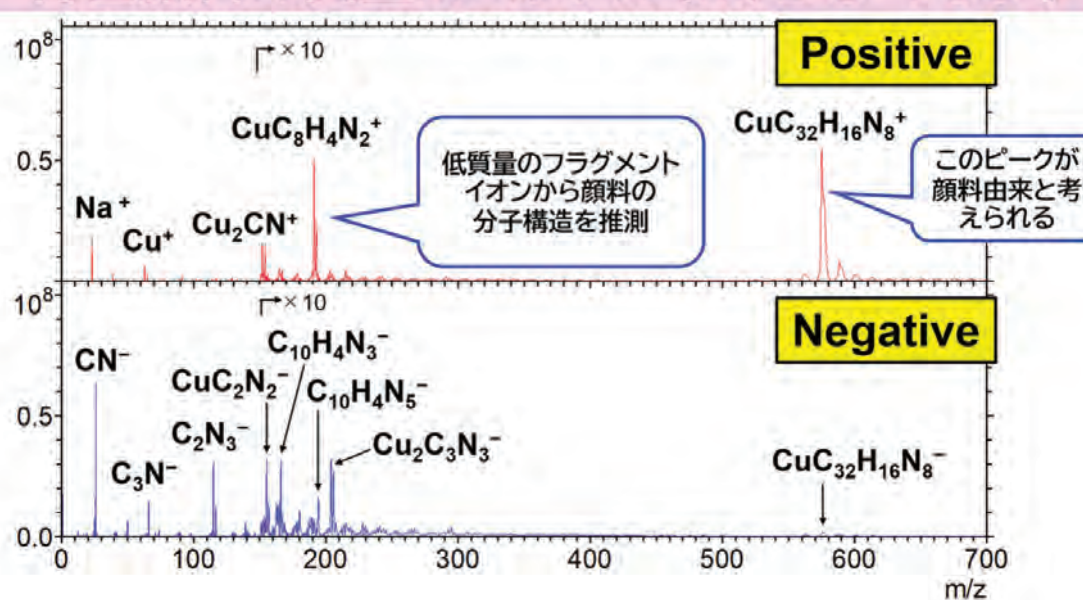
XRF



Cu,Ca,S,P, Si,C,Al,Mg
検出

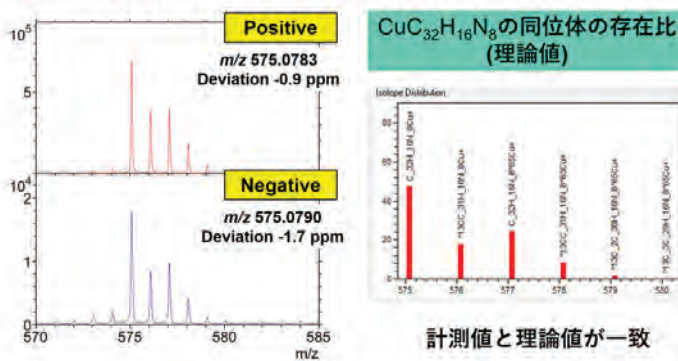
水性顔料マーカー：TOF-SIMS① 質量スペクトル

青色顔料の質量スペクトル(m/z 0-700)



水性顔料マーク : TOF-SIMS② 質量スペクトル

青色顔料質量スペクトル(m/z 570-585)

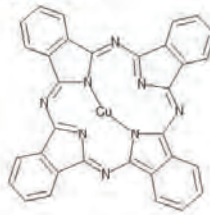


顔料成分は、フタロシアニン銅と推測される

青色マーク顔料の化学構造

青色顔料はフタロシアニン銅であると考えられる。

構造式

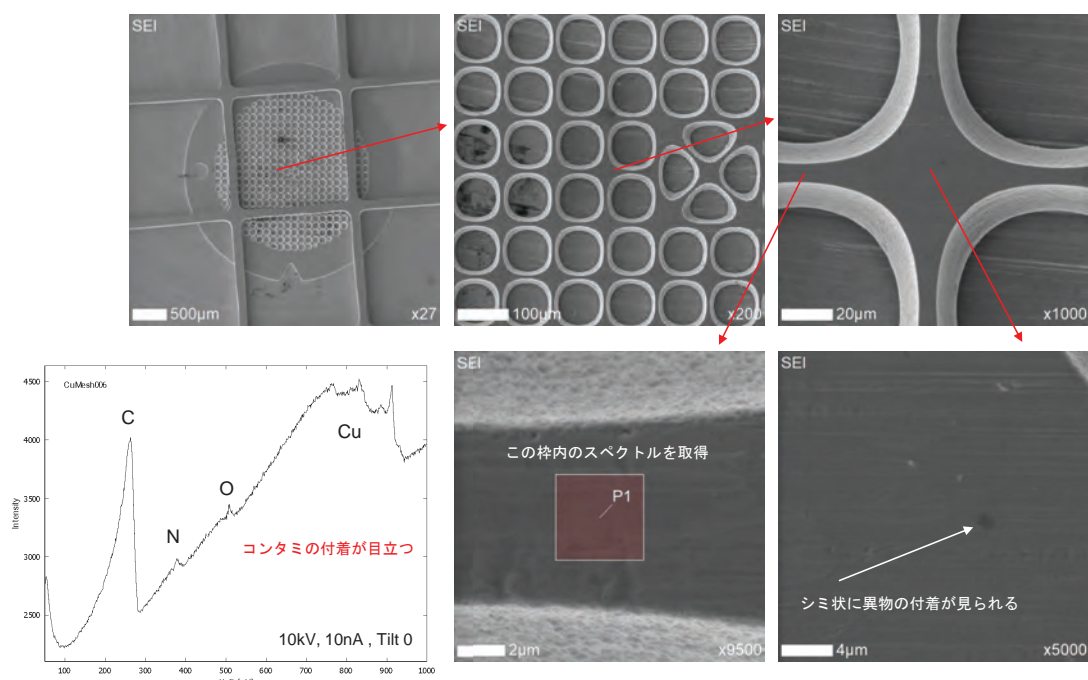


分子式: $CuC_{32}H_{16}N_8$

モノアイソトピック質量: 575.0788

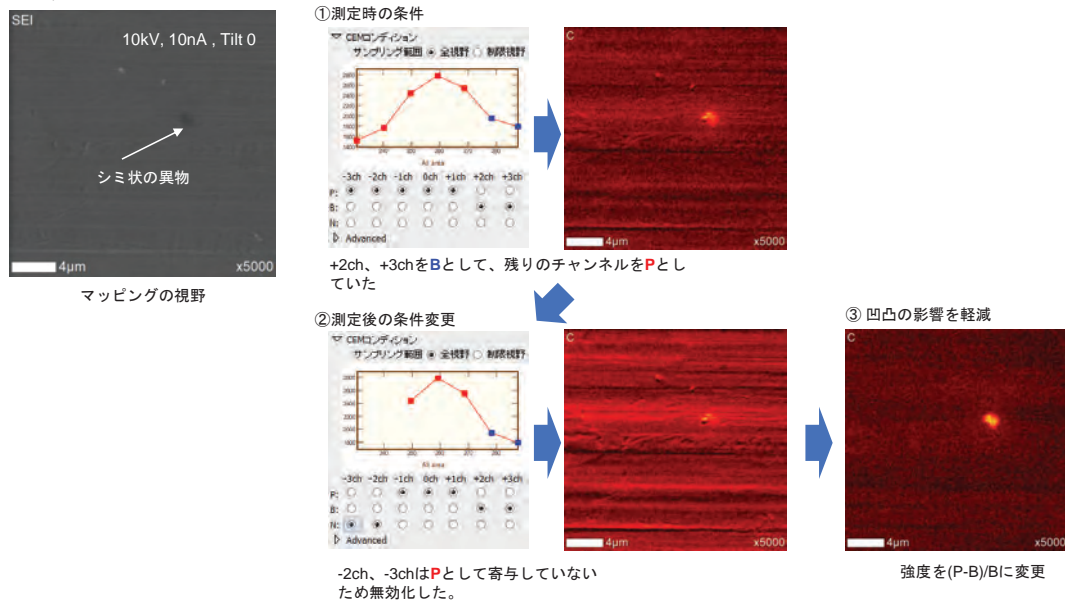
分子を構成する各元素の単一の同位体
(最も存在比の高い同位体)から成る分子の精密質量

Cuメッシュ : AES① SEM観察



微小な異物を確認、スペクトルからコンタミネーションと推察

Cuメッシュ : AES② ピーク、バックグラウンド同時測定によるCマッピング

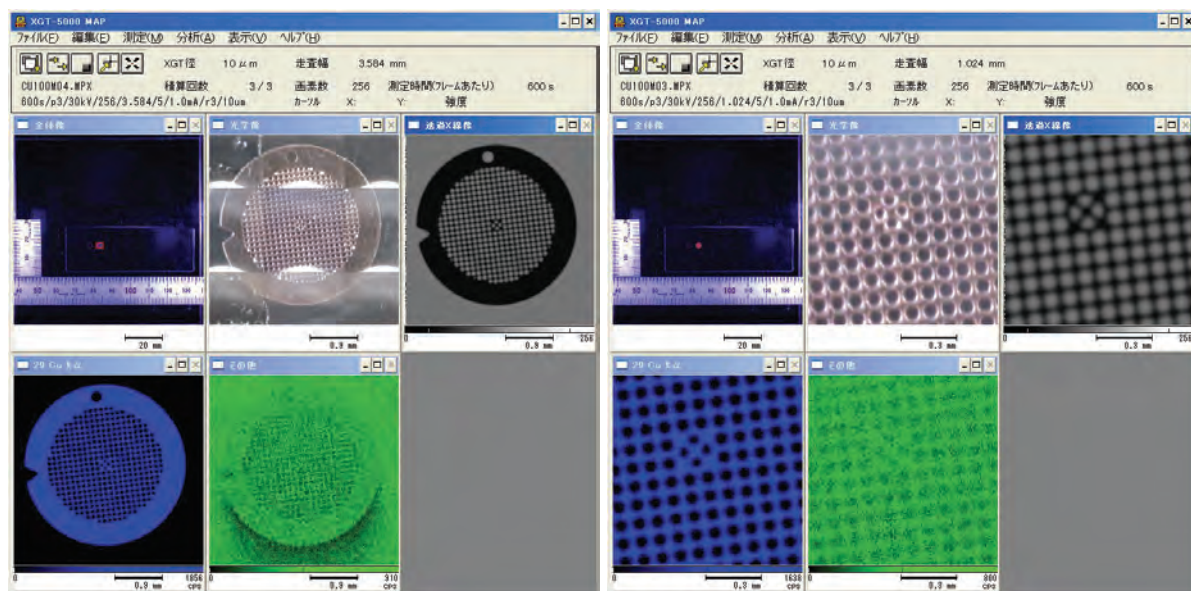


EDSやEPMA、XPSでは困難な表層の微小異物をマッピング
バックグラウンドの測定により、凹凸の影響を軽減

29

Cuメッシュ : XRF マッピング

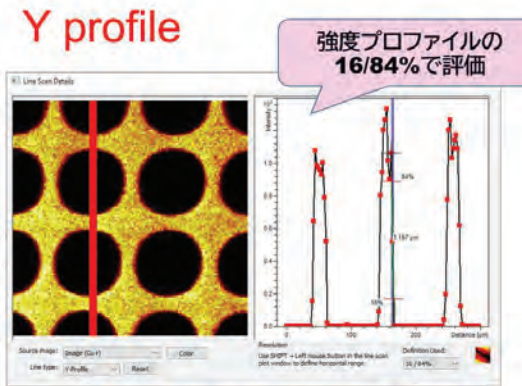
XRF (XGT-5000, HORIBA) によるマッピング例 (試料: Cu grid 100, X線径: $\phi 10 \mu\text{m}$)



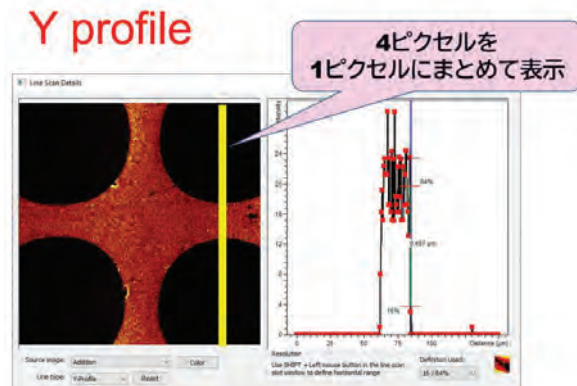
多元素同時マッピング可能 (今回の条件では1フレーム当たり10分程度、3回積算)

Cuメッシュ：TOF-SIMS 測定モードによる空間分解能比較

(Bunched mode)



(Non-Bunched mode)



空間分解能はNon-Bunched modeのほうが高い(質量分解能はBunched modeのほうが高い)

まとめ

- ・共通のサンプルを測定し、多種多様な分析結果を得ることができた
- ・データの確認・解釈を通して、普段扱っていない分析手法の理解を深めることができた
- ・分析手法の選択に参照できる資料を得ることができた
- ・同じ手法でもデータの違いを確認することができた
- ・メンバー間でのディスカッションにより、交流を深め、連携を強化することができた